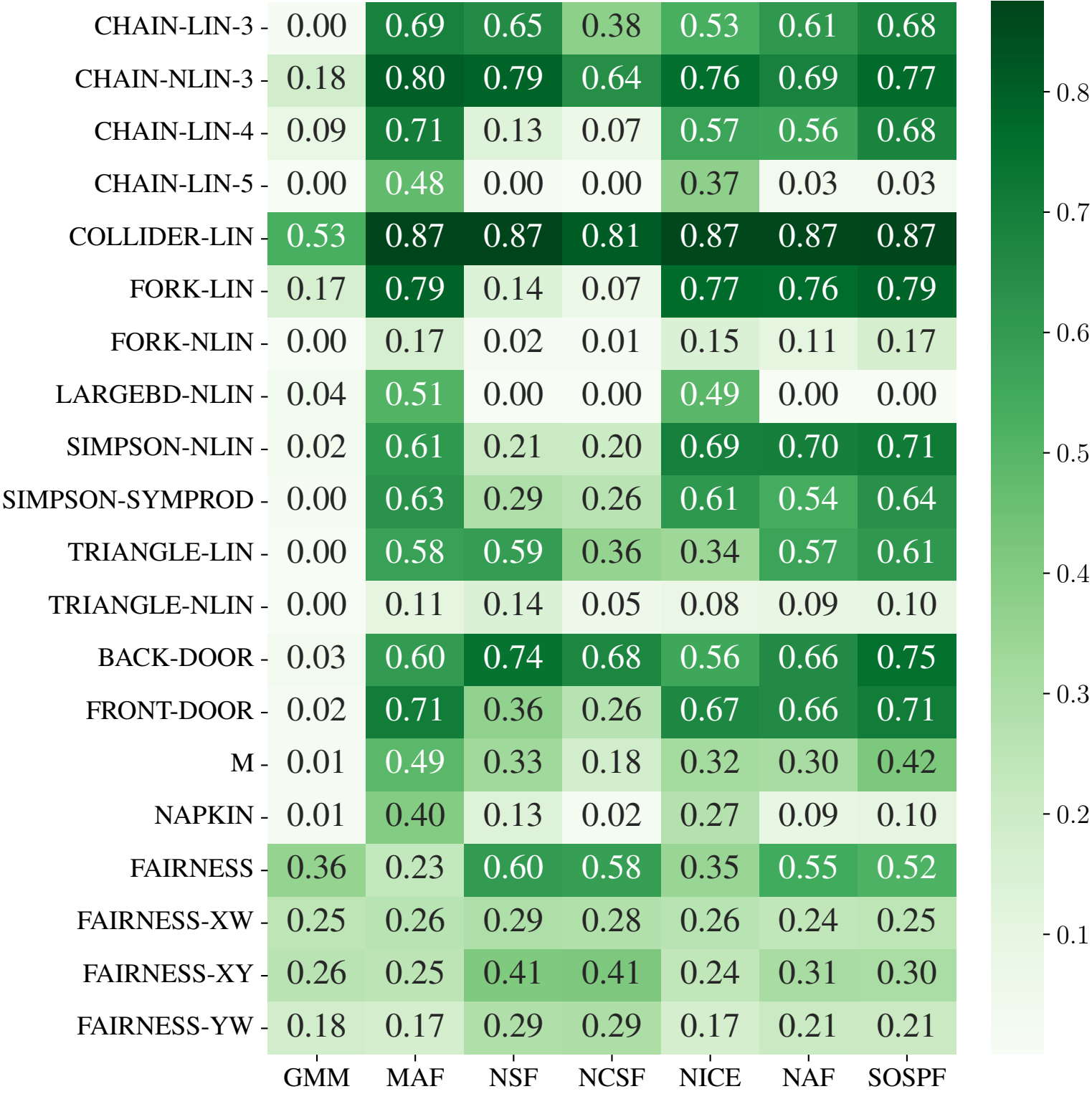
CHAIN-LIN-3 0.00 0.69 0.65 0.38 0.53 0.61 0.68
CHAIN-NLIN-3 0.18 0.80 0.79 0.64 0.76 0.69 0.77
CHAIN-LIN-4 0.09 0.71 0.13 0.07 0.57 0.56 0.68
CHAIN-LIN-5 0.00 0.48 0.00 0.00 0.37 0.03 0.03
COLLIDER-LIN 0.53 0.87 0.87 0.81 0.87 0.87 0.87
FORK-LIN 0.17 0.79 0.14 0.07 0.77 0.76 0.79
FORK-NLIN 0.00 0.17 0.02 0.01 0.15 0.11 0.17
LARGEBD-NLIN 0.04 0.51 0.00 0.00 0.49 0.00 0.00
SIMPSON-NLIN 0.02 0.61 0.21 0.20 0.69 0.70 0.71
SIMPSON-SYMPROD 0.00 0.63 0.29 0.26 0.61 0.54 0.64
TRIANGLE-LIN 0.00 0.58 0.59 0.36 0.34 0.57 0.61
TRIANGLE-NLIN 0.00 0.11 0.14 0.05 0.08 0.09 0.10
BACK-DOOR 0.03 0.60 0.74 0.68 0.56 0.66 0.75
FRONT-DOOR 0.02 0.71 0.36 0.26 0.67 0.66 0.71
M 0.01 0.49 0.33 0.18 0.32 0.30 0.42
NAPKIN 0.01 0.40 0.13 0.02 0.27 0.09 0.10
FAIRNESS 0.36 0.23 0.60 0.58 0.35 0.55 0.52
FAIRNESS-XW 0.25 0.26 0.29 0.28 0.26 0.24 0.25
FAIRNESS-XY 0.26 0.25 0.41 0.41 0.24 0.31 0.30
FAIRNESS-YW 0.18 0.17 0.29 0.29 0.17 0.21 0.21
GMM
MAF
NSF
NCSF
NICE
NAF
SOSPF
0.8
0.7
0.6
0.5
0.4
0.3
0.2
0.1